

## 溶剂热还原法制备蛋壳状碳材料

米远祝<sup>\*,1,2</sup> 但悠梦<sup>2</sup> 胡卫兵<sup>1</sup>

(<sup>1</sup> 湖北民族学院化学与环境工程学院, 恩施 445000)

(<sup>2</sup> 长江大学化学与环境工程学院, 荆州 434023)

关键词: 蛋壳状碳材料; 溶剂热还原法

中图分类号: O613.71 文献标识码: A 文章编号: 1001-4861(2007)10-1833-04

## Preparation of Eggshell-like Carbon Materials via a Thermal Reduction Process

MI Yuan-Zhu<sup>\*,1,2</sup> DAN You-Meng<sup>1</sup> HU Wei-Bing<sup>1</sup>

(<sup>1</sup>School of Chemistry & Environmental Engineering, Yangtze University, Jingzhou, Hubei 434023)

(<sup>2</sup>School of Chemistry & Environmental Engineering, Hubei Institute for Nationalities, Enshi, Hubei 445000)

**Abstract:** Eggshell-like carbon materials with high yields have been synthesized by a solvothermal route in a stainless steel autoclave using metallic zinc and absolute ethanol as starting materials. The products were characterized by X-ray powder diffractometry (XRD), energy-dispersive X-ray spectroscopy (EDX), Raman spectroscopy and scanning electron microscopy (SEM). The eggshell-like carbon spheres had diameters ranging from 500 nm to 1  $\mu\text{m}$ . The optimal reaction conditions to obtain eggshell-like carbon materials were 600 °C and 12 h.

**Key words:** eggshell-like carbon; solvothermal reduction route

## 0 引言

自 1985 年 Kroto 等<sup>[1]</sup>发现富勒烯、1991 年 Iijima<sup>[2]</sup>发现纳米碳管以来, 碳材料的研究便引起了世界范围内的广泛关注。不同形貌碳材料在许多方面有着不同的潜在应用价值, 因此具有独特结构的碳材料已经引起了广泛的研究热情。根据所使用的方法和使用的碳前驱体的不同, 许多不同形貌的碳材料比如纳米碳管<sup>[2]</sup>, 洋葱型碳<sup>[3]</sup>、锥形结构碳<sup>[4]</sup>、碳微树<sup>[5]</sup>、空心碳球<sup>[6]</sup>、碳微卷<sup>[7]</sup>等已经成功地被合成。Luo 等<sup>[8,9]</sup>分别以金属锌和金属镁作为还原剂, 在乙醚中合成了核壳状的碳纳米球和螺旋状的碳纳米管。

Liu 等<sup>[10]</sup>用金属镁和正丁醇利用溶剂热法合成了空心碳锥。我们用储氢合金 LaNi<sub>5</sub> 作催化剂, 以乙醇为碳源和溶剂合成了圆球形和橄榄形的碳微球<sup>[11]</sup>。最近, Xiao 等<sup>[12,13]</sup>以醋酸镁和聚乙二醇为原料, 用乙醇作溶剂在不同的温度下制备出类似稻草杆状和花状的碳材料。

本工作以锌粉作为还原剂和模板剂, 利用乙醇热还原法, 在 600 °C 不锈钢反应釜中制备了蛋壳状的碳材料, 球壳直径在 500 nm 到 1  $\mu\text{m}$  左右, 厚度约在 10 nm 左右。扫描电子显微镜(SEM)下观察到的产品 80% 以上为蛋壳状结构。

收稿日期: 2007-07-05。收修改稿日期: 2007-08-26。

湖北省科技厅国际合作项目(No.2006CA014)和湖北省教育厅重点项目(No.B200729001, D200529003)。

\*通讯联系人。E-mail: michem@163.com

第一作者: 米远祝, 男, 35 岁, 硕士, 副教授; 研究方向: 环境材料与纳米材料。

## 1 实验部分

### 1.1 试剂和仪器

所有试剂均为分析纯。锌粉(天津市河北区海晶精细化工厂,粒径在500 nm到1 μm左右),无水乙醇(武汉市江北化学试剂有限责任公司),盐酸(武汉市市利精细化工厂)。

产物结构分析在MSAL-XD2型X射线粉末衍射仪上进行(XRD,Cu K $\alpha$ 辐射,靶电压40 kV,电流20 mA, $\lambda=0.154\text{05 nm}$ ,扫描范围 $2\theta=10^\circ\text{--}90^\circ$ ,扫描步速 $0.08^\circ\cdot\text{s}^{-1}$ ),用JSM-6330F扫描电子显微镜(SEM,100 kV)观察产物形貌,用INCA X200能谱仪测定其能量散射X光谱(EDX),在Renishaw RM2000型显微激光拉曼光谱仪上进行组分分析,氩离子激光器激发波长为514.5 nm。

### 1.2 蛋壳状碳材料的制备

称取锌粉1.0 g于20 mL不锈钢反应釜中,然后加入15 mL无水乙醇,用玻璃棒搅拌,封盖,放于反应炉中设定600 ℃温度下反应12 h。反应完毕,自然冷至室温,收集黑色产物依次用稀盐酸、蒸馏水、无水乙醇清洗,室温条件下置于放有硅胶的干燥器中晾干。

## 2 结果与讨论

### 2.1 结构及组分分析

图1是制备样品的XRD图,图1a,1b分别表示用稀盐酸清洗前后的样品,图1a中高而窄的峰对应于六方晶的氧化锌(PDF 36-1451),低而宽的峰对应于六方晶碳。图1b中的2个峰(002)和(100)峰对应于标准卡(PDF 41-1487)中六方晶系石墨。晶胞参数为 $a=0.246\text{1 nm}$ , $c=0.677\text{1 nm}$ ,与标准值相差小于1%( $a=0.247\text{0 nm}$ , $c=0.672\text{4 nm}$ ),除了碳的峰

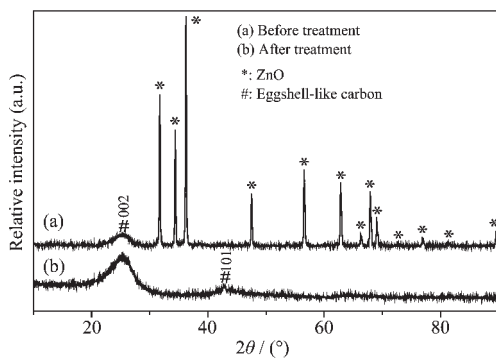


图1 稀盐酸清洗前后产品的XRD图

Fig.1 XRD patterns for samples before and after dilute HCl acid treatment

以外,没有其它杂峰出现。说明稀盐酸清洗前产品为氧化锌和碳的混合物,清洗后的产品全部为碳质材料。图2是样品的能量散射X光谱图(EDX),由图也可以看出,产物是由碳组成的。图中的O可能源于反应中没有分解的乙醇以及吸附的水分子和乙醇,而其中的Cu来自于TEM中的铜网。

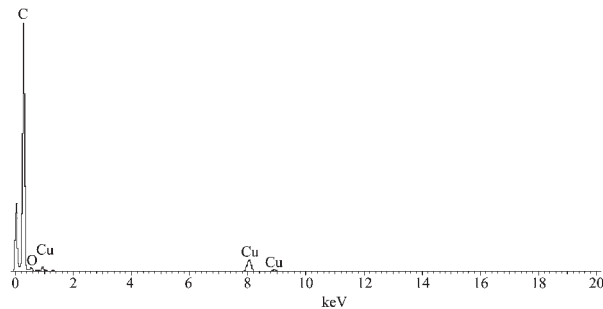


图2 600 ℃反应12 h所得样品的EDX图

Fig.2 EDX spectrum of the sample synthesized at 600 °C for 12 h

碳材料产物在室温下直接记录其拉曼光谱,氩离子激光器的激发波长为514.5 nm。图3是样品的拉曼光谱图,图中显示的2个强峰位置为1 357.2 cm<sup>-1</sup>和1 586.3 cm<sup>-1</sup>,是典型的碳材料拉曼光谱图。位于1 586.3 cm<sup>-1</sup>(G)的峰对应于石墨的E<sub>2g</sub>振动模式,它与二维六方晶格中sp<sup>2</sup>键碳原子的振动有关,这跟石墨层中的sp<sup>2</sup>键相似。位于1 357.2 cm<sup>-1</sup>(D)的峰与二维平面边缘具有悬键的无规则碳原子有关<sup>[14,15]</sup>。

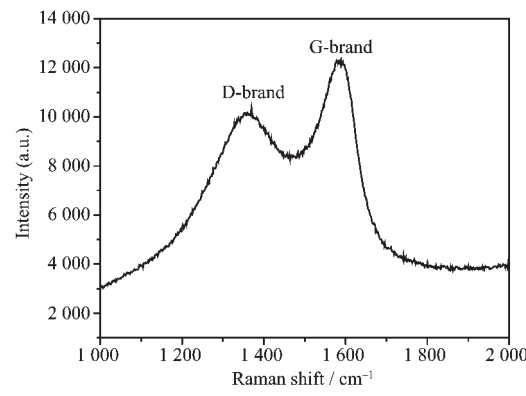
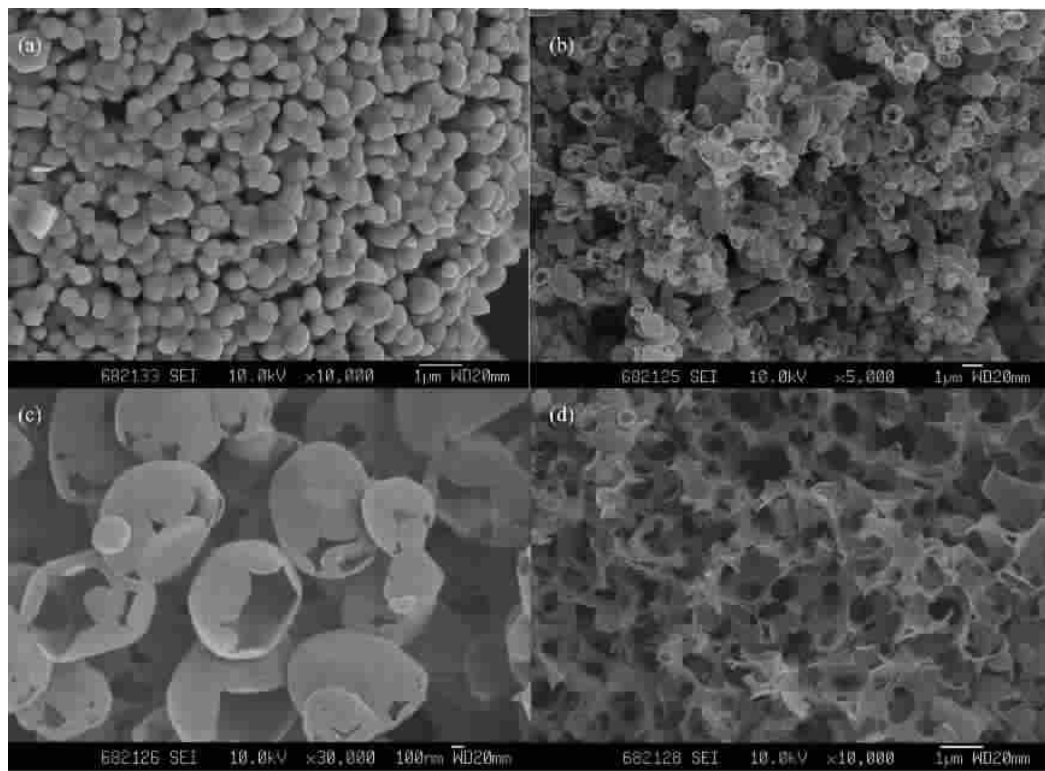


图3 样品的拉曼光谱图

Fig.3 Raman spectrum of the as-prepared products which shows two graphite peaks at 1 357.2 cm<sup>-1</sup> and 1 586.3 cm<sup>-1</sup>

### 2.2 形貌观察

图4是制备产物的扫描电子显微镜(SEM)照片,图4a为未经稀盐酸清洗过的样品,图中显示为大小不均匀的球体,粒度约为500 nm到1 μm左



(a) Before dilute hydrochloric acid treatment; (b) Eggshell-like carbon spheres;  
(c) High-magnification SEM image for eggshell-like carbon spheres; (d) Alveolate carbon materials

图 4 样品的扫描电子显微镜(SEM)照片

Fig.4 SEM microscopy images of samples before and after HCl acid treatment

右;图 4b,4c,4d 为稀盐酸清洗过的样品,图 4c 为图 4b 的放大照片,如图 4b,4c 所示,产品为蛋壳一样的空心球壳,而且均有不同程度的开口,球壳直径也在 500 nm 到 1 μm 左右,厚度约在 10 nm 左右;图 4d 是不同观察位置样品的 SEM 图,图中所示样品呈蜂窝状,其中也有一些球壳状的产品。通过 SEM 观察,发现经稀盐酸清洗过的样品中,80% 以上呈蛋壳状,近 20% 呈蜂窝状。

为了确定不同反应条件对蛋壳状碳材料的影响,我们改变反应温度、时间和锌粉的用量做了一系列的对比实验。实验证明,锌粉的用量和反应温度对蛋壳状碳材料的生成有重要影响,当锌粉的量较少时(低于 0.5 g),产品中除了有蛋壳状的碳以外,还有大量的实心碳微球,而当锌粉的量较大时(大于 2.0 g),产品中蜂窝状的碳较多,而蛋壳状的碳相对较少。当温度低于 400 ℃时,反应基本上不能发生,在 500 ℃时,产物中除了有空心碳壳外,还有一些实心碳微球,随着温度的升高,空心碳壳的量不断地增加,实心碳球的量不断地减少,当温度为 600 ℃时,产物中没有发现实心的碳微球存在。当反

时间低于 5 h 时,产品的量相对较少,而反应时间大于 12 h 以后,其产物的总量和蛋壳状产品的量基本上不会发生变化。所以,制备蛋壳状碳材料的最佳反应条件为 600 ℃ 和 12 h。

我们认为,在球壳的形成过程中,锌粉起了模板作用。在高温下,无水乙醇发生碳化,细小的碳颗粒均匀地沉积到锌粉上,而锌粉本身被氧化成为氧化锌,于是就形成了一个个被碳膜包覆的氧化锌颗粒,这些颗粒经稀盐酸清洗时,氧化锌与稀盐酸发生反应,于是便留下如图 2b,2c 中的球壳。在反应釜的底层,由于锌粉颗粒之间靠得比较紧,不易被碳全部包裹,所以在稀盐酸清洗后,就形成了如图 2d 的蜂窝状产物。可能的反应机理如图 5 所示。

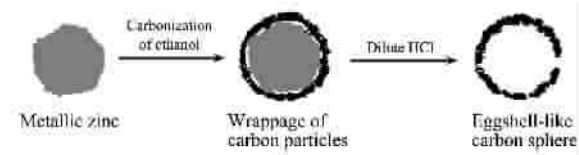


图 5 蛋壳状碳球可能的形成机理图

Fig.5 Scheme for the possible formation mechanism of the eggshell-like carbon spheres

### 3 结 论

以锌粉作为还原剂和模板剂,利用乙醇热还原法,在不锈钢反应釜中制备了蛋壳状的碳材料,球壳直径在500 nm到1 μm左右,厚度约在10 nm左右,产品中同时也有蜂窝状的碳存在。反应的最佳条件为600 °C和12 h。此法操作简便易行,制备的蛋壳状碳材料结构新颖,分布均匀,产率高。

### 参考文献:

- [1] Kroto H W, Heath J R, O'Brien S C, et al. *Nature*, **1985**, *318*:162~163
- [2] Iijima S. *Nature*, **1991**, *354*:56~58
- [3] Ugarte D. *Nature*, **1992**, *359*:707~709
- [4] Krishnan A, Dujardin E, Treacy M M J, et al. *Nature*, **1997**, *388*:451~454
- [5] Ajayan P M, Nugent J M, Siegel R W, et al. *Nature*, **2000**, *404*:243~243
- [6] Xu L Q, Zhang W Q, Qian Y T, et al. *Carbon*, **2005**, *43*:1084~1114
- [7] Chen X Q, Motojima S. *J. Mater. Sci.*, **1999**, *34*:3581~3585
- [8] Luo T, Yang X G, Qian Y T, et al. *Chem. Lett.*, **2005**, *34*(2):168~169
- [9] Luo T, Liu J W, Qian Y T, et al. *Carbon*, **2005**, *43*:755~759
- [10] Liu J W, Lin W J, Qian Y T, et al. *Carbon*, **2004**, *42*:669~671
- [11] Mi Y Z, Liu Y L, Yuan D S, et al. *Chem. Lett.*, **2005**, *34*:846~847
- [12] Xiao Y, Liu Y L, Chen L Q, et al. *Carbon*, **2006**, *44*:1589~1591
- [13] Xiao Y, Liu Y L, Mi Y Z, et al. *Chem. Lett.*, **2005**, *34*:1422~1423
- [14] Benito A M, Maniette Y, Munoz E, et al. *Carbon*, **1998**, *36*:681~183
- [15] Jose-Yacaman M, Miki-Yoshida M, Rendon L, et al. *Appl. Phys. Lett.*, **1993**, *62*:657~659